

مطالعه‌ی فوق ریزبینی سلول‌های گرانولوزای فولیکول‌های تخدانی موش صحرایی متعاقب ایجاد دیابت تجربی و درمان با متغورمین

دکتر پویا پورنگی^۱، دکتر شاپور حسن زاده^{۲*}، دکتر رجبعلی صدرخانلو^۳، دکتر امیرعباس فرشید^۴

تاریخ دریافت: ۹۱/۰۶/۲۵ تاریخ پذیرش: ۹۱/۱۲

چکیده

پیش زمینه و هدف: دیابت یک بیماری متابولیکی است که بر تمام بدن از جمله دستگاه تناسلی ماده تأثیر می‌گذارد و از عوامل مؤثر در ناباروری می‌باشد. متغورمین از داروهای رایج کنترل قند خون بیماران دیابتی است. هدف این مطالعه بررسی تغییرات فوق ریزبینی فولیکول‌های تخدانی رت‌های دیابتی و سنجش میزان اثربخشی داروی متغورمین در این زمینه بود.

مواد و روش کار: ۳۶ سر رت ماده بالغ نژاد Sprague-Dawley (کنترل، دیابتی و دیابتی درمان شده با متغورمین) مطالعه شدند. در گروه‌های دوم و سوم، رت‌ها با تزریق ۴۵mg/kg استرپتوزوتوسین دیابتی و در گروه سوم با ۱۰۰mg/kg/day متغورمین منوهیدروکلرايد تیمار شدند. در پایان دوره آزمایش، رت‌ها تشریح و تخدان راست آن‌ها پس از آماده‌سازی، با میکروسکوپ الکترونی عموری (TEM) مطالعه گردیدند.

یافته‌ها: تغییرات ایجادشده در سلول‌های گرانولوزای فولیکول‌های تخدانی رت‌های گروه دیابتی در مقایسه با گروه کنترل شامل کوچک و چروک‌کیده شدن سلول گرانولوزا، کوچک شدن، بی‌نظمی شکلی و کاهش فعالیت هسته سلول (متراکمتر شدن کروماتین)، کاهش تعداد و ظهور اشکال غیرطبیعی اندامک‌های سیتوپلاسم سلول، تجمع قطرات لیپیدی در سیتوپلاسم، ازهم‌گسیختگی سلول‌های تاج شعاعی و فاصله گرفتن آن‌ها از پرده شفاف است. کاهش تعداد و هموزن شدن میتوکندری‌ها، بالونی شدن کریستالهای برخی از میتوکندری‌ها، تورم شبکه‌های آندوپلاسمی صاف و دانه‌دار از بارزترین تغییرات اندامکی در گروه دیابتی بودند.

بحث و نتیجه‌گیری: دیابت باعث ایجاد تغییرات فرا ساختاری آپوپتوزی در سلول‌های گرانولوزا شده و منجر به آترزی فولیکول‌های در حال رشد خواهد. درمان با متغورمین می‌تواند در ایجاد شرایط بهتر در موارد ذکر شده در بیماران دیابتی مؤثر باشد.

کلیدواژه‌ها: تخدان، سلول‌های گرانولوزا، دیابت، متغورمین، میکروسکوپ الکترونی، موش صحرایی

مجله پزشکی ارومیه، دوره بیست و سوم، شماره پنجم، ص ۴۸۴-۴۷۶، آذر و دی ۱۳۹۱

آدرس مکاتبه: کرمانشاه- بزرگراه امام خمینی (ره)- دانشگاه پیام نور مرکز کرمانشاه تلفن: ۰۱۸-۸۲۵۱۰-۰۸۳۱ و ۰۹۱۸۳۳۹۲۸۰۵

Email: p.pournaghi@gmail.com

مقدمه

بهداشت جهانی (WHO) تخمین زده است که تعداد مبتلایان به دیابت در جهان تا سال ۲۰۳۰ به ۳۶۶ میلیون نفر یا بیشتر افزایش می‌یابد (۲). با توسعه شهرنشینی و گرایش افراد جامعه به استفاده از غذاهای پرکربوهیدرات، کم تحرکی و وجود فاکتورهای خطر نظیر استعمال دخانیات، امروزه شاهد افزایش بروز بیماری‌های متابولیکی و قلبی- عروقی نظیر چاقی و دیابت هستیم (۱).

دیابت قندی (Diabetes mellitus) از پر اهمیت‌ترین بیماری‌های غدد و متابولیک است. بر اساس آمار اعلام شده از سوی وزارت بهداشت، درمان و آموزش پزشکی در ۱۰ سال پیش، حدود یک میلیون و هشتاد هزار بیمار دیابتی شناخته شده در کشور وجود داشته (حدود ۳ درصد افراد جامعه) و حدود ۲/۲ میلیون نفر نیز در مراحل اولیه دیابت یا اختلال سوخت و ساز هستند، اما خود از آن بی خبر بودند (۱). سازمان

^۱ استادیار گروه زیست شناسی دانشگاه پیام نور (نویسنده مسئول)

^۲ دانشیار بخش بافت شناسی و جنین شناسی، دانشکده دامپزشکی، دانشگاه ارومیه

^۳ استاد بخش بافت شناسی و جنین شناسی، دانشکده دامپزشکی، دانشگاه ارومیه

^۴ دانشیار بخش آسیب شناسی دانشکده دامپزشکی و سرپرست مرکز میکروسکوپ الکترونی دانشگاه ارومیه

حیوانات از مرکز نگهداری و پرورش حیوانات آزمایشگاهی دانشکده دامپزشکی دانشگاه ارومیه تهیه و تا رسیدن به وزن مطلوب در قفسهایی از جنس پروپیلن در گروههای چهار تا شش تایی پرورش داده شدند. در تمام طول این مطالعه، حیوانات مذکور در حیوان خانه‌ی مجهز به سیستم تهویه با دمای 22 ± 2 درجه سانتی‌گراد، رطوبت ۴۵٪ و چرخه روشنایی- تاریکی ۱۲ ساعته نگهداری شدند. آب و غذا بدون محدودیت، در اختیار رت‌ها قرار گرفت. رت‌ها به سه گروه ۱۲ سری تقسیم شدند. گروه C: رت‌های کنترل، گروه D: رت‌های دیابتی و گروه M: رت‌های ناشتای درمان شده با متوفورمین. برای القاء دیابت، در رت‌های ناشتای گروههای D و M با تزریق یکبار محلول استرپیوزوتوسین (Sigma, St. Louis, MO, USA) حل شده در سیترات بافر ۰/۱M pH ۴/۵ با به میزان ۴۵ میلی‌گرم به ازای هر کیلوگرم وزن بدن به شکل داخل صفاقی، دیابت ایجاد گردید و به رت‌های ناشتای گروه C، مقدار ۱ سی سی سیترات بافر مذکور به همان روش تزریق شد. پس از تزریقات، حیوانات به قفسهای خود برگردانده شده و آب و غذا به صورت آزاد در اختیار آن‌ها قرار گرفت. ۴۸ ساعت پس از تزریق استرپیوزوتوسین، از رت‌ها خون گیری به عمل آمده و میزان قند خون آن‌ها اندازه‌گیری شد. رت‌هایی که میزان قند خون ناشتای آن‌ها بیشتر از 200 mg/dl بود، دیابتی محسوب شده و در این مطالعه مورد استفاده قرار گرفتند (۱۰). رت‌های گروه M از روز چهاردهم پس از ایجاد دیابت، به مدت ۵۶ روز (دو دوره‌ی چهار هفته‌ای) گلوكوفاژ (متوفورمین منوهیدرات مرک فرانسی) با دز ۱۰۰ میلی‌گرم به ازای هر کیلوگرم وزن بدن را روزانه به صورت خوراکی (گواژ معده) دریافت کردند.

پس از اتمام دوره‌ی آزمایش (۷۰ روز بعد از ایجاد دیابت)، رت‌های هر سه گروه به وسیله‌ی دی‌ایل اتر آسان کشی شدند. سپس تخدمان سمت راست رت‌هایی که در فاز فولیکولار سیکل جنسی قرار داشتند، جدا و در محلول فیکساتیو گلوتارآلدهید ۳٪ به مدت ۳-۴ ساعت قرار گرفتند. پس از انجام مراحل آبغیری (TAAB, England) با استفاده از استون، نمونه‌ها در اسپار (Zeiss, Germany) به میکرومتری، به وسیله‌ی اولترامیکروتوم (Zeiss, Germany) تهیه و با تولوئید بلورنگ‌آمیزی گردیدند. برش‌های فوق‌نازک $1/5-1/6$ میکرومتری، به رنگ‌آمیزی گردیدند. برش‌های نیمه‌نازک $1/5-1/6$ نانومتری به روی گردیدهای منتقل و پس از رنگ‌آمیزی با اورانیل اسات و Philips, The Netherlands) در ۸۰ KV بررسی شدند.

یافته‌ها

دیابت قندی با ایجاد عوارض عروقی کوچک و بزرگ، تقریباً بر تمام ارگان‌ها و سیستم‌های بدن تأثیرگذار است (۳). شایع‌ترین عوارض دیابت عبارتند از: رتینوپاتی، نفروپاتی، بیماری‌های نورولوژیک، بیماری‌های قلبی- عروقی، بیماری‌های پوستی و زخم در اندام‌های تحتانی (۱). دیابت قندی اثرات مضاری بر عملکرد جنسی زنان گذارده و از آن به عنوان یکی از علل ناباروری زنان نام برده می‌شود (۴). دیابت موجب اختلال در عملکرد تخدمان از جمله تغییر در رفتار استروس، رشد فولیکولی، بلوغ اووسیت و کاهش یا عدم تخمک‌گذاری می‌گردد (۴-۶).

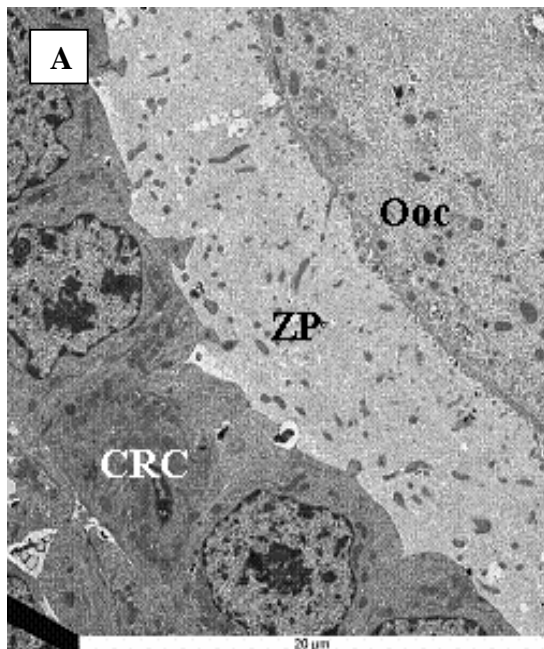
استرپیوزوتوسین (STZ)، مشتق متیل نیتروزورا از ۲-اکسی گلوكز، یک داروی ارزشمند آزمایشگاهی است که جهت ایجاد دیابت وابسته به انسولین در تعدادی از گونه‌های حیوانی از جمله موش صحرایی استفاده می‌شود. این دارو، معروف‌ترین ماده برای ایجاد دیابت تجربی به حساب می‌آید (۷). متوفورمین یک ترکیب بی‌گوانیدی کاهش دهنده‌ی گلوكز خون است که در درمان دیابت مصرف می‌شود. اثر این دارو توسط مجموعه‌ای از واکنش‌ها در اندام‌ها و بافت‌های مختلف حاصل می‌شود که عبارتند از: کاهش گلوكونئورن در هپاتوسیت‌ها و افزایش گلیکوزن و لیبوژن، کاهش جذب گلوكز توسط سلول‌های پوششی روده و افزایش جذب گلوكز توسط سلول‌های عضلانی و چربی. تجویز خوراکی متوفورمین نسبت به تجویز داخل وریدی آن از کارایی بهتری برخوردار است (۸,۹).

بین سال‌های ۱۹۹۷ تا ۲۰۰۲، ۱۹۸۳ مقاله در زمینه دیابت و نقص عملکرد جنسی در جنس نر به چاپ رسیده است؛ در حالی که در این مدت، فقط ۱۳ مقاله چاپ شده به بررسی دیابت و نقص عملکرد در جنس ماده پرداخته‌اند. این مطلب نشان دهنده‌ی ضرورت تحقیقات بیشتر در این زمینه است (۳). هدف از مطالعه حاضر، بررسی فوق ریزبینی اثرات دیابت تجربی و درمان آن با متوفورمین روی سلول‌های گرانولوزای فولیکول‌های تخدمانی است که نقش بسیار مهمی را در تولید هورمون‌های جنسی و در ارتباط با فولیکولوزن بازی می‌کند. ایجاد تغییرات در ساختار و در نهایت عملکرد آن‌ها می‌تواند نقش بارزی را در کاهش توان باروری جنس ماده، به خود اختصاص دهد. این مطالعه در کنار مطالعات دیگر می‌تواند در درک چگونگی تأثیر دیابت بر ناباروری جنس ماده و میزان توانایی داروهایی همچون متوفورمین در ایجاد شرایط بهتر در بیماران، به ما کمک کند.

مواد و روش کار

در این مطالعه، از تعداد ۳۶ سر موش رت ماده بالغ نژاد Sprague-Dawley (با وزن ۲۱۰-۱۷۰ گرم)، استفاده شد.

گروه دیابتی درمان شده با متفورمین: بررسی فوق‌ریزبینی سلول‌های گرانولوزای گرانولوزای فولیکول‌های تخدمانی رتهایی که از دو هفته پس از القاء دیابت، با متفورمین درمان شده بودند، نشان داد که ترتیب و نظم سلول‌های تاج شعاعی مجاور پرده‌ی شفاف بهتر و از هم‌گسیختگی آن‌ها در مقایسه با گروه دیابتی کمتر بود. همچنین نسبت به گروه دیابتی که این سلول‌ها از پرده‌ی شفاف نیز فاصله گرفته بودند، فاصله‌ی کمتری مشاهده شد (تصویر F). هسته‌ی سلول‌های گرانولوزا، تقریباً بزرگ، با اشکال مختلف ولی غالباً کروی یا بیضی شکل، اغلب در مرکز سلول و با کروماتین روشن یعنی اوکروماتیک بود. اندامک‌های سیتوپلاسم سلول‌های گرانولوزا در گروه درمان شده با متفورمین نسبت به گروه دیابتی به تعداد بیشتر و با اشکال طبیعی و یا نزدیک به طبیعی ملاحظه گردیدند. میتوکندری‌ها به صورت اندامک‌های کروی یا بیضوی با کریستاهای محدود و مشخص و بدون حالت بالونی شدگی کریستاهای دیده شدن. شبکه‌ی آندوپلاسمی صاف و دانه‌دار و نیز قطرات لیپیدی موجود در سیتوپلاسم سلول‌های گرانولوزا در فولیکول‌های تخدمانی این گروه، به مراتب به حالت طبیعی نزدیک‌تر بودند (تصویر G).

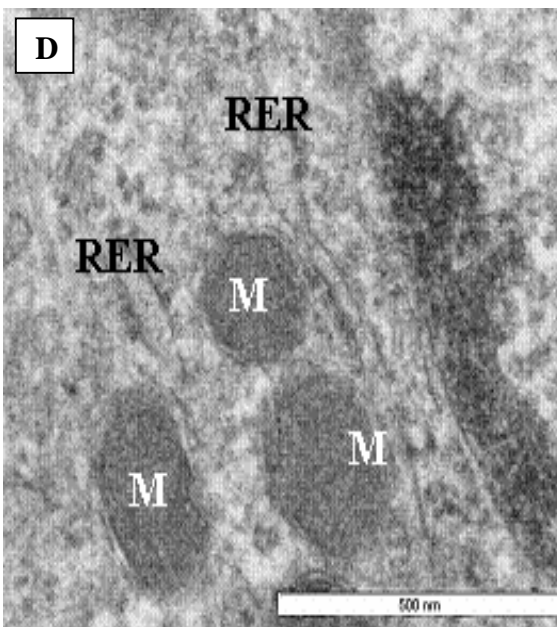


A: میکروگراف الکترونی از اووسیت (Ooc)، پرده شفاف (ZP) و سلول‌های تاج شعاعی (CRC) در یک فولیکول تخدمانی از گروه کنترل.

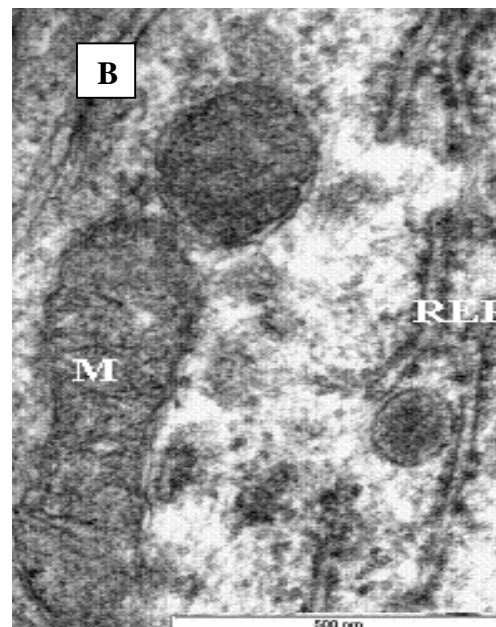
گروه کنترل: بررسی فوق‌ریزبینی سلول‌های گرانولوزای (granulosa cells) فولیکول‌های در حال رشد نشان داد که اووسیت محصور شده با پرده‌ی شفاف (zona plicata) در هر فولیکول، توسط سلول‌های تاج شعاعی (corona radiata) احاطه شده بود. سلول‌های تاج شعاعی اطراف اووسیت به طور منظم و چسبیده به پرده‌ی شفاف دیده می‌شدند و اتصالات بین سلولی در بین آن‌ها به وضوح قابل مشاهده بود. در درون پرده‌ی شفاف، مقاطع میکروویلی‌هایی که از سلول‌های تاج شعاعی نفوذ کرده بودند، به وضوح دیده می‌شد (تصویر A). هسته‌ی سلول‌های گرانولوزا، بزرگ، کروی یا بیضی شکل، در مرکز سلول و کروماتین شدیداً روشن بود. در سیتوپلاسم اکثر سلول‌های گرانولوزا، میتوکندری‌ها به صورت اندامک‌های کروی یا بیضوی و با کریستاهای مشخص دیده شدند (تصویر B). در برخی از این سلول‌ها، شبکه‌ی آندوپلاسمی دانه‌دار نیز در کنار میتوکندری‌ها دیده می‌شد (تصویر B). شبکه‌ی آندوپلاسمی صاف فعال هم به راحتی قابل مشاهده بود. در سیتوپلاسم برخی از سلول‌های گرانولوزا، تعدادی قطره‌ی لیپیدی دیده شد.

گروه دیابتی: بررسی فوق‌ریزبینی سلول‌های گرانولوزای فولیکول‌های تخدمانی رتهایی که با تزریق STZ به دیابت مبتلا شده بودند، نشان داد که سلول‌های تاج شعاعی مجاور پرده‌ی شفاف، ضمن از دست دادن اتصالاتی‌های بین سلولی و در نتیجه از هم‌گسیختگی، از پرده‌ی شفاف نیز فاصله گرفته بودند (تصویر C). سلول‌های گرانولوزا در جاتی از گوچکشده‌ی و چروکیده شدن را نشان می‌دادند. هسته‌ی سلول‌های گرانولوزا، با اندازه‌ها و اشکال مختلف و تیره‌تر از گروه کنترل یعنی دارای کروماتین فشرده‌تر بود. اندامک‌های سیتوپلاسم سلول‌های گرانولوزا در گروه دیابتی نسبت به گروه کنترل به تعداد کمتر و نیز پراکنده‌تر بودند. میتوکندری‌ها به صورت اندامک‌های کوچک کروی یا بیضوی متراکم و با کریستاهای مبهم دیده شدند (تصویر D).

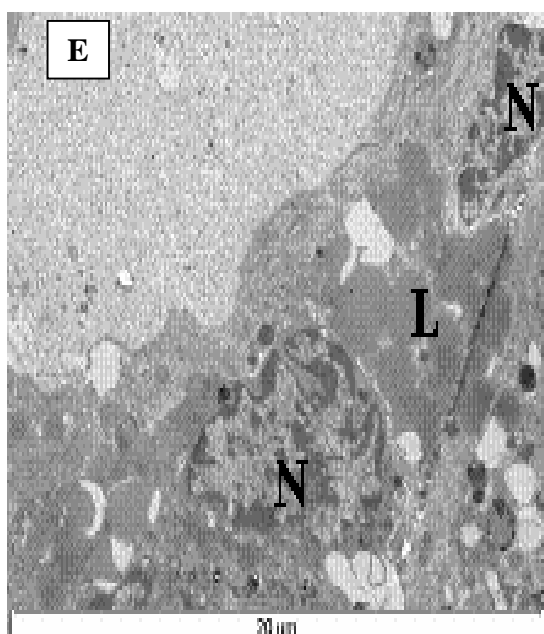
علاوه بر این، تعداد کمی از این میتوکندری‌ها حالت بالونی شدن کریستاهای (ballooning of cristae) یا به عبارت دیگر تورم داخل کریستایی (intracristal swelling) را نشان می‌دادند. فضای داخلی شبکه‌ی آندوپلاسمی دانه‌دار سیتوپلاسم سلول‌های گرانولوزا در مقاطع زیادی اتساع یافته و دارای حالت وزیکوله شدگی بود (تصویر D). فضای داخلی شبکه‌ی آندوپلاسمی صاف سیتوپلاسم سلول‌های گرانولوزا نیز بیانگر عدم وجود وضعیت طبیعی بود بهطوری که در مقاطع زیادی اتساع یافته و حجم شده بود. در سیتوپلاسم سلول‌های گرانولوزا، قطرات لیپیدی دیده شدند که از حیث تعداد و اندازه نسبت به گروه کنترل بیشتر و بزرگ‌تر شده بودند (تصویر E).



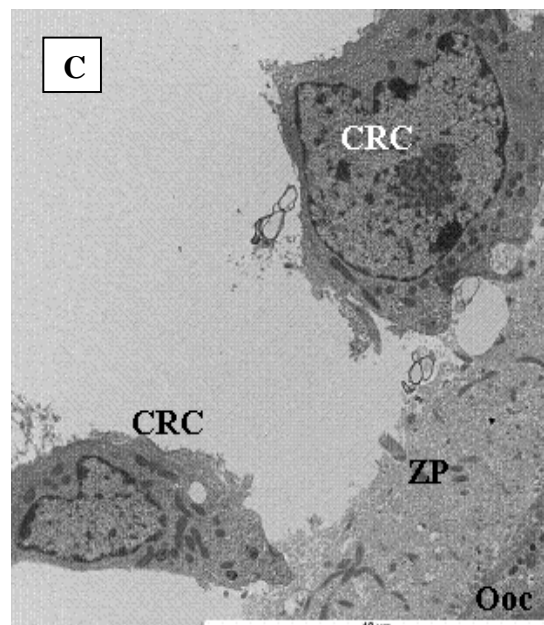
D: میکروگراف الکترونی قسمتی از سیتوپلاسم یک سلول گرانولوزا از فولیکول های تخدانی گروه دیابتی. چند میتوکندری (M) و قسمت هایی از شبکه آندوپلاسمی دانه دار (RER) دیده می شود.



B: میکروگراف الکترونی قسمتی از سیتوپلاسم یک سلول گرانولوزای گروه کنترل. یک میتوکندری (M) و قسمت هایی از شبکه آندوپلاسمی دانه دار (RER) دیده می شوند.



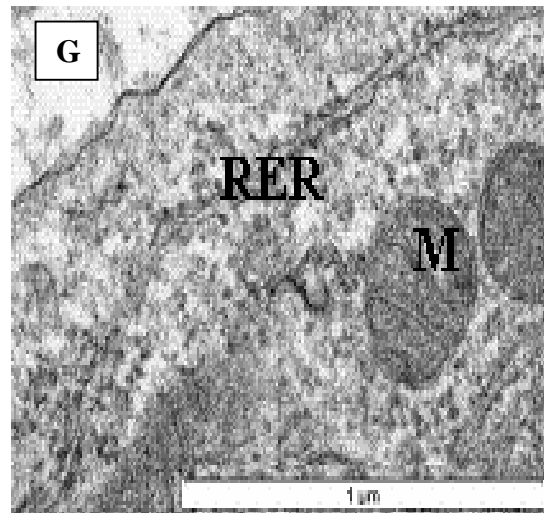
E: قطرات لیپیدی (L) بزرگ و به تعداد زیاد در سیتوپلاسم سلول گرانولوزای گروه دیابتی و N هسته سلول گرانولوزا.



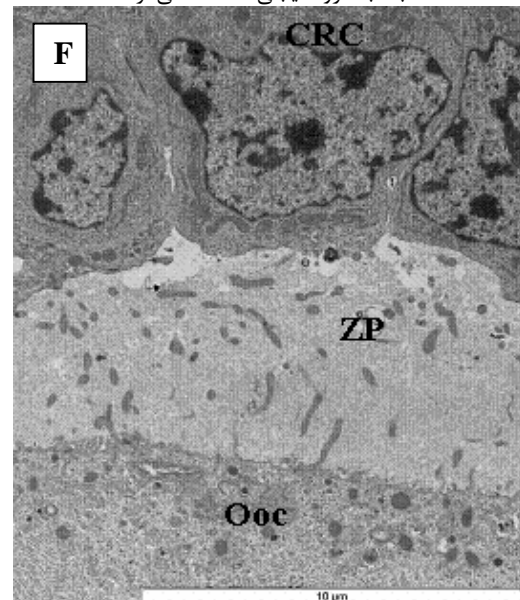
C: میکروگراف الکترونی از اووسیت (Ooc)، پرده شفاف (ZP) و سلول های تاج شعاعی (CRC) در گروه دیابتی. به فاصله ای که بین سلول های گرانولوزا باهم و نیز بین این سلول ها با پرده های شفاف به وجود آمده، دقت نمایید.

می‌باشد. این تغییرات در مقایسه با گروه کنترل شامل کوچک و چروکیده شدن سلول گرانولوزا، کوچک شدن، بی‌نظمی شکلی و کاهش فعالیت هسته سلول (متراکم‌تر شدن کروماتین)، کاهش تعداد و ظهور اشکال غیرطبیعی اندامک‌های سیتوپلاسم سلول، تجمع قطرات لیپیدی در سیتوپلاسم، از هم‌گسیختگی سلول‌های تاج شعاعی و فاصله گرفتن آن‌ها از پرده‌ی شفاف است. این تغییرات می‌توانند به عنوان علامت پیش‌آپوپتوزی فرض شوند (۱۱). تغییرات ذکر شده در سلول‌های گرانولوزای فولیکول‌های تخدمانی گروهی که از دو هفته پس از القای دیابت، تحت درمان با متفورمین قرار گرفته بودند، به میزان قابل توجهی کاهش یافته بود.

در حال حاضر محزز شده است که نقطه‌ی آغازین آترزی فولیکول‌های تخدمانی پستانداران، آپوپتوز سلول‌های گرانولوزا می‌باشد که در نتیجه‌ی محرومیت هورمونی به وجود می‌آید (۱۱). هورمون‌های استروئیدی نقش بارزی را در تنظیم فرآیندهای رشد، نمو، هموستاز و آپوپتوز به عهده دارند (۱). هورمون‌های استروئیدی نقش مهمی را در تنظیم آپوپتوز در تخدمان بازی می‌کنند: استروئن‌ها از آپوپتوز سلول‌های گرانولوزای فولیکولی جلوگیری می‌کنند، درحالیکه به نظر می‌رسد آندروژن‌ها تکه‌تکه شدن DNA‌ی سلول‌های تخدمانی را تسهیل می‌کنند؛ این هورمون‌ها اثرات فوق را به ترتیب با ممانعت و افزایش فعالیت اندونوکلئاز در سلول‌های گرانولوزای تخدمان بجا می‌گذارند (۱۲). در مطالعه‌ای in vitro نشان داده شد که گنادوتربوپین‌های هیپوفیزی، به طور مستقیم نیز می‌توانند آپوپتوز فولیکولی را تنظیم کنند؛ FSH توансنت به صورت وابسته به دز آپوپتوز فولیکولی را به میزان ۶۰-۶۲٪ سرکوب نماید. با توجه به نقش کلیدی گنادوتربوپین‌های هیپوفیزی بر عملکرد سلول‌های گرانولوزای فولیکول‌های تخدمانی و تولید هورمون‌های جنسی و نیز نقش هورمون‌های جنسی - و خود گنادوتربوپین‌های به طور مستقیم - در تنظیم آپوپتوز تخدمانی (۱۱)، برای اینکه بتوانیم در مورد تغییرات فراساختاری سلول‌های گرانولوزا در این مطالعه، بحث جامعی ارائه دهیم، ناگزیر باید به تغییرات گنادوتربوپین‌های هیپوفیزی و متعاقب آن تغییرات هورمون‌های جنسی در اثر ابتلاء به دیابت و پس از آن درمان با متفورمین بپردازیم. دیابت موجب اختلال در عملکرد تخدمان از جمله تغییر در رفتار استرس، رشد فولیکولی، بلوغ اووسیت، کاهش جسم زرد، ایجاد فولیکول‌های آترتیک، کاهش یا عدم تخمک‌گذاری می‌گردد (۱۳-۱۵) و این تغییرات ناشی از ایجاد اختلال در محور هیپوتالاموس-هیپوفیز- تخدمان می‌باشد که در آن میزان هورمون‌های FSH و LH کاهش یافته و به دنبال آن توانایی تخدمان برای سنتز



G: میکروگراف الکترونی قسمتی از سیتوپلاسم یک سلول گرانولوزا از گروه درمان شده با متفورمین. دو میتوکندری (M) و قسمتی از شبکه آندوپلاسمی دانه‌دار (RER) با شکل و ساختمان به مرتب بهتر نسبت به گروه دیابتی ملاحظه می‌گردد.



F: میکروگراف الکترونی از اووسیت (Ooc)، پرده‌ی شفاف (ZP) و سلول‌های تاج شعاعی (CRC) در یک فولیکول تخدمانی از گروه درمان شده با متفورمین. فاصله بین سلول‌های گرانولوزا باهم و نیز بین این سلول‌ها با پرده‌ی شفاف، نسبت به گروه دیابتی کاهش یافته است.

بحث

نتایج بدست آمده از بررسی حاضر، بیانگر تغییرات دژنراتیو در سلول‌های گرانولوزای فولیکول‌های تخدمانی پس از القای دیابت

adenosine 5' monophosphate-activated protein kinase (PRKA) شده است که جلوگیری از ترشح پروژسترون از سلول‌های گرانولوزای تخمدان رت را به دنبال دارد. با توجه به مطالب ذکر شده‌ی فوق در مورد تغییرات میزان گندوتروپین‌های هیپوفیزی و هورمون‌های جنسی پس از القاء دیابت و درمان با متغورمین، تجمع قطرات لیپیدی قابل توضیح است. از آنجایی که سلول‌های گرانولوزای فولیکول‌های تخمدانی رت‌های دیابتی توانایی تبدیل لیپیدهای واردشده به سیتوپلاسم سلول به هورمون‌های جنسی را به میزان زیادی از دست داده‌اند، شاهد تشکیل قطرات لیپیدی به تعداد بیشتر و اندازه‌ی بزرگ‌تر در درون سیتوپلاسم این سلول‌ها هستیم. با استفاده از نتایج مطالعه‌ی حاضر و تلفیق آن با نتایج مطالعه‌ی که در سال‌های اخیر انجام شده‌اند، می‌توان بیان داشت که تغییرات سلول‌های گرانولوزای فولیکول‌های تخمدانی رت‌های دیابتی نتیجه‌ی کاهش سطح گندوتروپین‌های هیپوفیزی و هورمون‌های استرادیول و پروژسترون، افزایش سطح تستوسترون و نیز دیگر اثرات سوء ناشی از دیابت مانند افزایش میزان رادیکال‌های آزاد (۲۵-۲۷) - که می‌توانند منجر به القاء آپویتوز گردند - می‌باشد. از هم‌گسیختگی سلول‌های تاج شعاعی و فاصله‌گرفتن آن‌ها از پرده‌ی شفاف، از عوامل ایجاد تغییر در ماهیت پرده‌ی شفاف است که سبب کاهش ارتباطات تغذیه‌ای اووسیت شده و از عوامل مهار مراحل بلوغ و دژنرشن آن (۲۸) محسوب می‌شود.

از دیگر تغییرات فوق ریزینی ایجادشده در اثر دیابت، تغییر در میتوکندری‌ها شامل کاهش تعداد آن‌ها، هموژن شدن ماتریکس و ازبین‌رفتن کریستال‌های لوله‌ای و نیز بالونی‌شدن کریستال‌ها در تعدادی از میتوکندری‌ها بود. میتوکندری هیدروپیک به دلیل ورود آب به اندامک ایجاد می‌گردد و می‌تواند توسط عوامل زیادی که سبب آسیب سلولی می‌شوند، بوجود باید. از آنجا که دو فضای در میتوکندری وجود دارد شامل فضای بین غشایی - که به درون کریستال‌ها هم امتداد یافته - و فضای ماتریکسی؛ لذا بسته به اینکه ورود مواد محلول به درون کدامیک از این فضاهای اتفاق بیفتد، عالیم متفاوتی ظاهر می‌شود. در صورت درگیری ماتریکس یا فضای داخلی، در مراحل اولیه یا درجات خفیف، کاهش غلظت ماتریکس بوجود می‌آید که با چگالی کاهش یافته قبل تشخصی است. کریستال‌ها جابجا شده و ممکن است درجات مختلفی از تغییرجهت، کوتاه‌شدگی و کاهش تعداد را نشان بدهند. ماتریکس تاحدی رنگ پریده است ولی خاصیت هموژن‌بودن خود را حفظ می‌کند (۲۹). در این مطالعه به نظر می‌رسد میتوکندری‌هایی که دارای ماتریکس هموژن و کاهش در تعداد و قطر کریستال‌ها هستند، مراحل اولیه ورود آب به ماتریکس خود را نشان می‌دهند

هورمون‌های استروژن و پروژسترون کاهش می‌یابد (۴). دیابت تجربی کاهش سطح FSH و LH را در رت‌های ماده نشان می‌دهد (۱۶). در مطالعه‌ی هورمونی که توسط نویسنده‌گان این مقاله در کنار این مطالعه انجام گرفت (۱۷)، میزان هورمون‌های FSH و LH در گروه دیابتی نسبت به گروه کنترل به طور معنی‌داری ($P < 0.05$) کاهش یافته بود. این کاهش میزان هورمون‌های FSH و LH در گروه دیابتی درمان شده با متغورمین نسبت به گروه کنترل در مورد LH معنی‌دار ($P < 0.05$) ولی در مورد FSH غیرمعنی‌دار بود. جالب اینکه درمان با متغورمین اگرچه میزان LH را در رت‌های گروه دیابتی درمان شده به طور معنی‌داری ($P < 0.05$) نسبت به گروه دیابتی بالا برده بود، ولی کماکان اختلاف سطح آن با گروه کنترل معنی‌دار ($P < 0.05$) بود. میزان استرادیول و آندروژن در جنس ماده، به دیابت قندی و تغییر مقاومت به گلوكز وابسته است (۱۸). بعضی مطالعات بر روی زنان مبتلا به دیابت تیپ ۱ کاهش میزان استرادیول (۱۶) یا عدم تغییر در میزان آن (۱۹) را نشان می‌دهند. مدل دیابت تجربی بهوسیله‌ی القاء دیابت با تزریق استرپتوزوتوسین در جوندگان، تغییر در پروفایل هورمونی به خصوص کاهش سطح استرادیول و افزایش سطح تستوسترون در حیوانات ماده را نشان داده‌اند (۲۰ و ۲۱). یافته‌های به دست از مطالعه بر روی مدل‌های دیابت تجربی، "ممولا" با داده‌های حاصل از مطالعات انسانی از نظر نمایان بودند کاهش میزان استرادیول در رت‌های Goto-Kakizaki (۲۲) و افزایش میزان تستوسترون در موش‌های db/db (۲۳) منطبق هستند. میزان تستوسترون آزاد اندوزنوس با میزان قندخون و محتوای چربی بدن، دارای ارتباط مستقیم می‌باشد. نشان داده شده که دیابت تجربی منجر به کاهش سطح پروژسترون می‌گردد (۱۶). در مطالعه‌ی هورمونی که توسط نویسنده‌گان این مقاله در کنار این مطالعه انجام گرفت (۱۷)، میزان هورمون‌های استروژن و پروژسترون در گروه دیابتی نسبت به گروه کنترل به طور معنی‌داری ($P < 0.05$) کاهش یافته بود. این کاهش میزان هورمون‌های استروژن و پروژسترون در گروه دیابتی نسبت به گروه کنترل در مورد پروژسترون غیرمعنی‌دار بود. از طرفی افزایش معنی‌داری ($P < 0.05$) در میزان تستوسترون در گروه‌های دیابتی و دیابتی درمان شده با متغورمین نسبت به گروه کنترل رخ داده بود. نکته‌ی جالب این است که با وجود افزایش معنی‌داری ($P < 0.05$) هورمون LH در گروه دیابتی درمان شده با متغورمین نسبت به گروه دیابتی، اختلاف معنی‌داری بین این دو گروه از نظر میزان هورمون پروژسترون مشاهده نشد. Tosca و همکاران در سال ۲۰۰۶ (۲۴) گزارش دادند که استفاده از متغورمین، سبب

ورود آب و تورم بوجود آمده در سیسترن‌های این شبکه می‌باشد. ایجاد میتوکندری‌های هیدروپیک همراه است با تورم و وزیکوله‌شدن شبکه‌ای آندوپلاسمیک دانه‌دار (۲۹). تغییرات ساختمان میتوکندری‌ها و شبکه‌های آندوپلاسمیک صاف و دانه‌دار سیتوپلاسم سلول‌های گرانولوزای گروه درمان شده با متفورمین، شرایط به مراتب بهتری را در مقایسه با گروه دیابتی نشان می‌دهد که به نظر می‌رسد این وضعیت ناشی از کاهش میزان قندخون و درنتیجه تخفیف اثرات مخرب دیابت در گروه درمان شده با متفورمین می‌باشد.

نتیجه گیری

می‌توان بیان داشت که القاء دیابت از راه‌های مختلف از جمله تغییر در میزان هورمون‌های محور هیپوفیز- تخمدان و اثرات سیتوتوکسیک عمومی خود، باعث ایجاد تغییرات آپوپتویک در ساختار و عملکرد سلول‌های گرانولوزا می‌گردد که این تغییرات که عبارتند از کوچک و چروکیده‌شدن سلول گرانولوزا، کوچکشدن، بی‌نظمی شکلی و کاهش فعالیت هسته سلول (متراکم‌شدن کروماتین)، کاهش تعداد و ظهرور اشکال غیرطبیعی اندامک‌های سیتوپلاسم سلول، تجمع قطرات لیپیدی در سیتوپلاسم، از هم‌گسیختگی سلول‌های تاج شعاعی و فاصله‌گرفتن آن‌ها از پرده‌ی شفاف، می‌توانند منجر به آترزی فولیکول‌ها و دُزِزه‌شدن اووسیت‌ها گرددند. درمان با متفورمین می‌تواند در ایجاد شرایط بهتر در موارد ذکر شده در بیماران دیابتی مؤثر باشد.

تشکر و قدردانی

بدین‌وسیله از جناب آقای دکتر فرهاد رضایی، سرکارخانم شبنم جعفری و بخش میکروسکوپ الکترونی دانشگاه علوم پزشکی خرونینگن هلند به ویژه جناب آقای بروفسور هان که در مسیر اجرای مطالعه‌ی حاضر نهایت مساعدت و همکاری را به عمل آورده‌اند، صمیمانه تشکر و قدردانی می‌گردد.

اما حالت دوم تورم میتوکندری که به دلیل ورود آب به حفره‌ی خارجی رخ می‌دهد، اغلب به بالونینگ کریستاتا (تورم داخل کریستاتی) ختم می‌شود. در جایی که تورم داخل کریستاتی وجود دارد، افزایش اندازه میتوکندری ممکن است واضح نباشد و ماتریکس ممکن است کاملاً متراکم دیده شود. قابل ذکر است که متراکم‌شدن ماتریکس ممکن است به دلیل جایجایی آب از ماتریکس به فضای داخل کریستاتی باشد. در سیاری از مطالعات in vitro میتوکندری‌های نرمال داری شکل متعارف بوده‌اند (orthodox configuration mitochondria)؛ در حالیکه پروسه‌های آزمایشگاهی متفاوتی که سبب آسیب سلوالی می‌شوند، می‌توانند میتوکندری‌ها را به اندامک‌هایی با ماتریکس فشرده‌شده و کریستاتاهای متورم (ballooning of cristae) تغییردهند که تحت عنوان میتوکندری‌های متراکم‌شده (condensed mitochondria) نامیده می‌شوند. مکانیسم ایجاد این اشکال میتوکندری هنوز کاملاً مشخص نشده است (۲۹). تصویر می‌شود که برخی از این تغییرات با تغییر پروتئین‌های غشای داخلی همراه هستند (۳۰). شکل متراکم معرفی یک وضعیت پایین انرژی و شکل متعارف بیانگر یک وضعیت انرژی بالا است (۳۱ و ۳۲). با جمع‌بندی مطالب بالا می‌توان گفت که در مطالعه‌ی حاضر، هموژن‌شدن ماتریکس و ازبین‌رفتن کریستاتها و نیز بالونی‌شدن کریستاتها در تعدادی از میتوکندری‌ها به علت اثرات سوء دیابت ایجاد شده‌اند و بیانگر سلول‌هایی با سطح پایین انرژی هستند. این میتوکندری‌های ناکارآمد خود می‌توانند به تغییر بیشتر در عملکرد سلول‌های گرانولوزا منجر شود. نماهای حاصل نشان‌دهنده‌ی کاهش توانایی این سلول‌ها در استفاده از اکسیژن جهت تولید انرژی و روی‌آوردن به مسیرهای بی‌هوایی تولید انرژی می‌باشد که این مسأله در روند فعالیت‌های طبیعی سلول‌های گرانولوزا اختلال جدی ایجاد نموده و می‌تواند نقش مهمی را در روند آپوپتوز آن ایفا نماید. اتساع یافته‌گی شبکه‌های آندوپلاسمیک صاف و دانه‌دار که در سیتوپلاسم سلول‌های گرانولوزا رت‌های گروه دیابتی مشهود است - مانند میتوکندری‌های گفته شده - ناشی از

References:

- Shamekhi H, Shahverdi-Alamdari M, Javanshir M. Translation of General Urology. 1st Ed. Gilan: Samat Publication; 2001. P. 747-90. (Persian)
- Attia SM, Helal GK, Alhaider AA. Assessment of genomic instability in normal and diabetic rats treated with metformin. *Chemico-Biological Interactions* 2009; 180: 196-204.
- Traish AM, Cushman T, Hoyt R, Kim NN. Diabetes attenuates female genital sexual arousal response via disruption of estrogen action. *Korean J Urology* 2009; 50(3): 211-23.
- Ballester J, Munoz MC, Dominguez J, Palomo MJ, Rivera M, Rigau T. Tungstate administration

- improves the sexual and reproductive function in female rats with streptozotocin induced diabetes. *Hum Reprod* 2007; 22(8): 2128-35.
5. Colton SA, Pieper GM, Downs SM. Altered meiotic regulation in oocytes from diabetic mice. *Biol Reprod* 2002; 67(1): 220-31.
 6. McLean MP, Warden KJ, Sandhoff TW, Luby RB, Hales DB. Altered ovarian sterol carrier protein expression in the pregnant streptozotocin-treated diabetic rat. *Biol Reprod* 1996; 55(1): 38-46.
 7. Rodrigues B, McNiel JH. Comparison of cardiac function in male and female diabetic rats. *Gen Pharma* 1987; 18(4): 421-3.
 8. Stepensky D, Friedman M, Srour W, Raz I, Hoffman A. Preclinical evaluation of pharmacokinetic-pharmacodynamic rationale for oral CR metformin formulation. *J Control Release* 2001; 71:107-15.
 9. Cheng J, Huang C, Liu I, Tzeng T, Chang C. Novel mechanism for plasma glucose lowering action of Metformin in streptozotocin induced diabetic rats. *Diabetes* 2006; 55:819-25.
 10. Venkateswaran S, Pari L. Effect of *Coccinia indica* leaves on antioxidant status in streptozotocin-induced diabetic rats. *J Ethnopharmacol* 2003; 84:163-8.
 11. Kiess W, Gallaher B. Hormonal control of programmed cell death/apoptosis. *Eur J Endocrinol* 1998; 138:482-91.
 12. Chun SY, Eisenhauer KM, Minami S, Billig H, Perlas E, Hsueh AJW. Hormonal regulation of apoptosis in early antral follicles. FSH as a major survival factor. *Endocrinology* 1996; 137:1447-56.
 13. McLean MP, Warden KJ, Sandhoff TW, Luby RB, Hales DB. Altered ovarian sterol carrier protein expression in the pregnant streptozotocin-treated diabetic rat. *Biol Reprod* 1996; 55(1): 38-46.
 14. Codner E, Soto N, Lopez P, Trejo L, Avila A, Eyzaguirre FC. Diagnostic criteria for polycystic ovary syndrome and ovarian morphology in women with type 1 diabetes mellitus. *J Clin Endocrinol Metab* 2006; 91(6): 2250-6.
 15. Albrecht G, Hahn von Dorsche H. Quantitative histologic studies of the gonads of sand rats (*Psammomys obesus*) during the development of diabetes mellitus. *Anat Anz* 1991; 173(2): 101-5.
 16. Salonia A, Lanzi R, Scavini M, Pontillo M, Gatti E, Petrella G, et al. Sexual function and endocrine profile in fertile women with type 1 diabetes. *Diabetes Care* 2006; 29: 312-16.
 17. Pournaghhi P, Sadrkhanlou R, Hasanzadeh Sh, Foroughi A. An investigation on body weights, blood glucose levels and pituitary-gonadal axis hormones in diabetic and metformin-treated diabetic female rats. *Vet Res Forum* 2012; 3(2): 79-84.
 18. Stumvoll M, Nurjhan N, Perriello G, Dailey G, Gerich JE. Metabolic effects of metformin in non-insulin-dependent diabetes mellitus. *N Engl J Med* 1995; 333: 550-554.
 19. Sowers M, Derby C, Jannausch ML, Torrens JI, Pasternak R. Insulin resistance, hemostatic factors and hormone interactions in pre- and perimenopausal women: SWAN. *J Clin Endocrinol Metab* 2003; 88:4904-10.
 20. Kim NN, Stankovic M, Cushman TT, Goldstein I, Munarriz R, Traish AM. Streptozotocin-induced diabetes in the rat is associated with changes in vaginal hemodynamics, morphology and biochemical markers. *BMC Physiol* 2006; 6:4.
 21. Wells CC, Riazi S, Mankhey RW, Bhatti F, Ecelbrager C, Maric C. Diabetic nephropathy is associated with decreased circulating estradiol levels and imbalance in the expression of renal estrogen receptors. *Gender Med* 2005; 2:227-37.
 22. Matsushita M, Tamura K, Osada S, Kogo H. Effect of troglitazone on the excess testosterone and LH secretion in thyroidectomized,

- insulinresistant, type 2 diabetic Goto-Kakizaki rats. *Endocrine* 2005; 27:301-5.
23. Chin M, Isono M, Isshiki K, Araki S, Sugimoto T, Guo B, et al. Estrogen and raloxifene, a selective estrogen receptor modulator, ameliorate renal damage in db/db mice. *Am J Pathol* 2005; 166:1629-36.
24. Tosca L, Solnais P, Ferre P, Foufelle F, Dupont J. Metformin-induced stimulation of adenosine 5' monophosphate-activated protein kinase (PRKA) impairs progesterone secretion in rat granulosa cells. *Biol Reprod* 2006; 75:342-51.
25. Sinclair AJ, Lunec J. Free radicals, oxidative stress and diabetes mellitus. In: Blake D, Winyard PG eds. *Immunopharmacology of Free Radical Species*. London: Academic Press; 1995. P. 183-98.
26. Rains JL, Jain SK. Oxidative stress, insulin signaling, and diabetes. *Free Radical Biol Med* 2011; 50(5):567-75.
27. Roberts CK, Sindhu KK. Oxidative stress and metabolic syndrome. *Life Sci* 2009; 84(21-22):705-12.
28. Solayminierad J, Rowshangar L, Karimi K. Ultrastructural study of folliculogenesis affected by electromagnetic exposure. *Fertil Infertil* 2004;(3):300-7. (Persian)
29. Ghadially FN. *Ultrastructural Pathology of the Cell and Matrix*. 4th Ed. Boston: Butterworth-Heinemann; 1997. P. 246-9.
30. Wrigglesworth JM, Packer L. Optical rotary dispersion and circular dichroism studies on mitochondria: correlation of ultrastructure and metabolic state with molecular conformational changes. *Arch Biochem Biophys* 1968; 128:790.
31. Hackenbrock CR. Ultrastructural bases for metabolically linked mechanical activity in mitochondria. II Electron transport linked ultrastructural transformations in mitochondria. *J Cell Biol* 1968; 37:345.
32. Hackenbrock CR. Chemical and physical fixation of isolated mitochondria in low-energy and high-energy state. *Proc Natl Acad Sci USA* 1968; 61:598.